

○名古屋大学工学部 学生会員 尼子 元久
 名古屋大学工学部 正会員 水野 英二
 名古屋大学工学部 正会員 福本 喜士

1.はじめに 近年、鋼材の塑性域にまで及ぶ範囲で繰り返し載荷を受ける構造部材、構造物の非線形挙動に関する研究は、構造工学の重要な課題の1つとなって来ている。昨年の本大会で著者ら¹⁾は、繰り返し載荷での塑性性状をうまく取り入れることのできるMulti-Surfaces Model²⁾（以下に、MSMと称す）を用いて、構造部材、橋梁主塔を対象とした有限要素法非線形解析を行なった。この解析によれば、構造物の繰り返し挙動をかなりよく追従できる一方で、構成則に関して、数値計算上多大な記憶領域を必要とし、かつ、かなりの数値計算時間を必要とする難点がある。それ故、本研究では、それらの難点を克服するため、まず、繰り返し載荷状態での構造部材断面のM-P-φ関係をモデル化する。

2.繰り返し載荷状態でのM-P-φ曲線作成のための特性曲線 本研究では、一定軸方向力Pのもとで繰り返し一軸曲げにより塑性変形を生じる断面の塑性曲率の蓄積量 $\bar{\phi}_p$ を変量として、M-P-φ曲線作成に必要な $\kappa_a(\bar{\phi}_p)$, $\kappa_b(\bar{\phi}_p)$, $W(\bar{\phi}_p)$, を提案する。ここに、 $\kappa_a(\bar{\phi}_p)$ は、M-φ_pの処女曲線、 $\kappa_b(\bar{\phi}_p)$ は、 $\bar{\phi}_p$ がかなり大きくなり定常状態に至ったときの載荷曲線、また、重み特性曲線 $W(\bar{\phi}_p)$ は、 $\kappa_a(\bar{\phi}_p)$ から $\kappa_b(\bar{\phi}_p)$ へ至るまでの補間曲線（1から0の値を取る）である。一例として、I形断面（I-200*200*8*10, SS41）が、一定軸方向力P=0.6Py（Py：降伏荷重）を受ける強軸曲げの場合の三つの特性曲線を以下に示す。

$\kappa_a(\bar{\phi}_p)$ については、MSMによる応力-ひずみ関係を用いて、単調載荷のもとで得られるM-φ_p関係を κ_a とし（Fig.1-a），また、 $\kappa_b(\bar{\phi}_p)$ については、十分な塑性変形が起こるまで任意の繰り返し載荷-除荷を数回行ない、一定ループを描くようになった時点での最終ループから作図法²⁾によって決定した（Fig.1-b）。Fig.1-aとFig.1-bに示すように、 κ_a , κ_b 曲線を離散化された区間線形として表現するため、内挿点として、ここでは $\bar{\phi}_{p0}$ ～ $\bar{\phi}_{p8}$ （各 $\bar{\phi}_{p0}$ ～ $\bar{\phi}_{p8}$ は一定値）までの9個の点を選んである。一方、重み特性曲線 $W(\bar{\phi}_p)$ は、一般に、9個の離散点 $\bar{\phi}_{pi}$ （ $i=1 \sim 9$ ）に対応するモーメントM（= κ_i ）に対して、それぞれ検討するのが妥当であるが、ここでは、代表的な $\bar{\phi}_{p5}$ に対する κ_5 （降伏開始点）、 $\bar{\phi}_{p6}$ に対する κ_6 （硬化域始点）、 $\bar{\phi}_{p7}$ に対する κ_7 （硬化域終点）のモーメントM（= κ ）の大きさの変化に着目した。そして、各種のM-P-φループより、種々の $\bar{\phi}_p$ に対する κ_5 , κ_6 , κ_7 の大きさを求め、次式により $W(\bar{\phi}_p)$ の値を決定した。

$$W(\bar{\phi}_p) = \frac{\kappa_i - \kappa_{bi}}{\kappa_{ai} - \kappa_{bi}} \quad \dots \quad (1)$$

その $W(\bar{\phi}_p)$ の値をプロットした結果が、Fig.2に示してある。Fig.2より分かるように、 $\bar{\phi}_p$

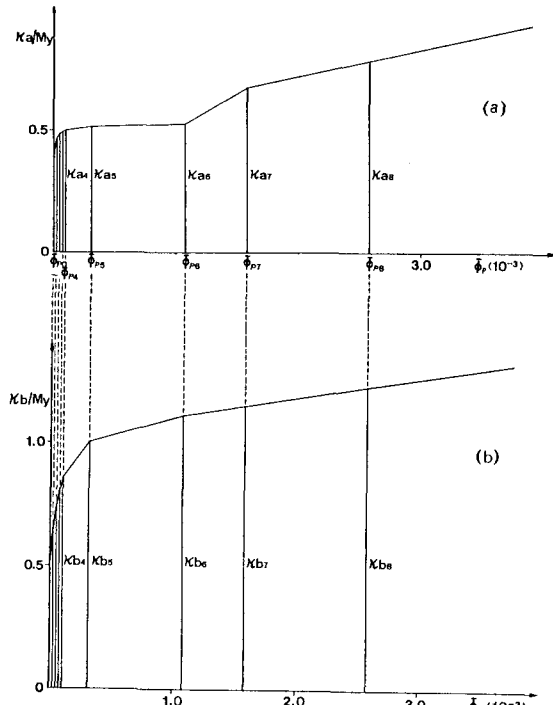


Fig.1 κ_a -Curve and κ_b -Curve.

の値が極小さい領域を除いて、離散点 $\bar{\phi}_{p5}$, $\bar{\phi}_{p6}$, $\bar{\phi}_{p7}$ に対応する $W(\bar{\phi}_p)$ は、除荷側、再載荷側に関係なくその変動は小さい。 $W(\bar{\phi}_p)$ の取り扱い方としては、1つの曲線 (Type-1) で代表することが望ましいが、ここでは、 κ_6 に対するもの (Type-2の実線) と、他の8個の点に対するもの (Type-2の一点鎖線) の2種類を仮定した。この仮定は、MSMによる結果との整合性から得た。

3. M-P-φ曲線の作成法 この作成法は、文献2)における $\sigma - \varepsilon$ 関係での経路決定法を、M-φ関係に応用した。

- (1) 初期単調載荷 特性曲線の一つである $\kappa_a(\bar{\phi}_p)$ そのものが M-P-φ曲線となる。
- (2) 除荷 除荷時点までに蓄積された塑性曲率 $\bar{\phi}_p$ を用いて重み特性曲線より $W(\bar{\phi}_p)$ を求め、次式により、各々の $\kappa_i(\bar{\phi}_p)$ ($i=1 \sim 9$) の大きさを計算する。

$$\kappa_i = \kappa_{bi} + W(\bar{\phi}_p)(\kappa_{ai} - \kappa_{bi}) \quad \text{---(2)}$$

次に、除荷点から、初期単調載荷曲線の延長上に $\bar{\phi}_{p1} \sim \bar{\phi}_{p8}$ の点を取り、それら9点を基準として、下方向にそれぞれ $2\kappa_i$ だけ離れた点を取る。さらに、直線 A-A'を軸として、各点の対称点を取り、これら9点を結んだ線を除荷側の M- $\bar{\phi}_p$ 曲線とする。(Fig.3)

4. 本手法によるM-P-φ曲線の妥当性 MSMによるM-P-φ曲線と本手法による曲線との比較をFig.4に示す。この図より $P=0.6Py$ のとき、M-φ関係が非線形となる領域に多少の差異が認められるが、これは、重み特性曲線 $W(\bar{\phi}_p)$ の決定において、より簡単化のためその領域の内挿点について考慮していないためである。しかし、この部分を除いては、かなりよく追従していることが分かる。

5. おわりに 材料の応力-ひずみ関係に MSMを仮定して求めたM-P-φ曲線と、本報で紹介したM-φに対する κ_a , κ_b , W の3つの特性曲線をもとに求めたM-P-φ曲線との比較を行ない、本手法による等価なM-P-φ曲線は、短い計算時間で、かなり精度よく得ることができた。今後、この手法を応用して、繰り返し曲げを受ける構造部材、さらには、骨組構造物の荷重-変形挙動を求める。

6. 参考文献 1) 加藤、水野、福本：多曲面塑性モデル理論による骨組構造物の荷重-変形履歴特性について；土木学会第39回年次学術講演会講演概要集、1984. 2) Popov, E.P. and Petersson, H.: Cyclic Metal Plasticity; Experiment and Theory, Journal of the Engineering Mechanics Division, ASCE, Vol.104, No.EM6, Proc. Paper 14257, Dec, 1978, pp.1371-1387.

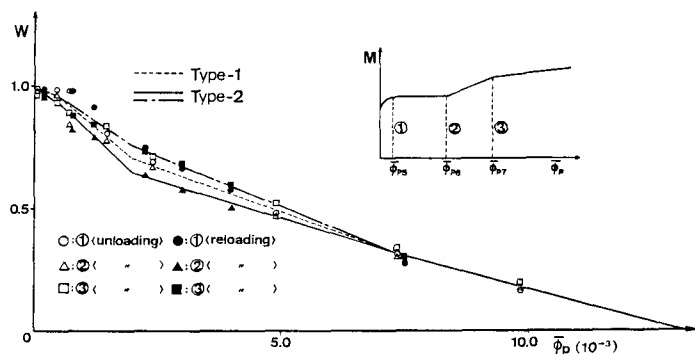


Fig.2 W- $\bar{\phi}_p$ Curve.

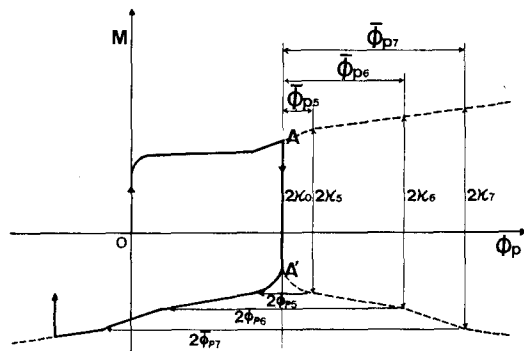


Fig.3 Method for M-P-φ Curve.

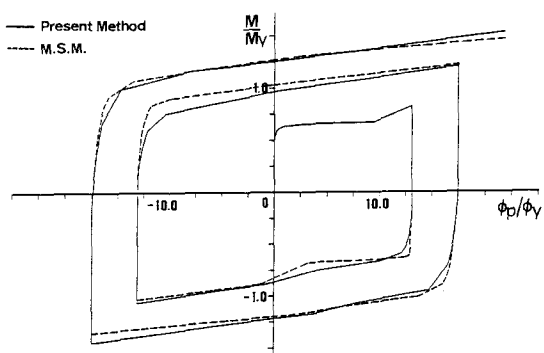


Fig.4 Comparison of Curve by Proposed Method with that by MSM.